

## II-164 分岐管水路系の過渡水理解析法

広島大学工学部 正員 常松 芳昭

1. まえがき 水質保全あるいは水管理の合理化の面から、各種用水の送配水に管路方式が多用されるようになってきている。こうした送配水システムはトリー構造の幹線系をもち、末端水需要構造に応じた水管理が要請されるために、これらの計画設計の技術的課題として、水管理を考慮した非定常現象の水理解析手法の展開がある。このような観点から、本文はセミクローズドタイプの複雑な分岐管路系に対してすでに得られている数学モデルに基づいて、こうした系の安定性を論じ、さらに、数値シミュレーション結果より分岐管路系のサーリング特性について考察したものである。

2. 分岐管水路系の漸近安定 1つのソースノード(貯水池)とm個のシンクノード(末端水槽)をもち、n本の枝から成るトリー構造でモデル化される分岐管路系を考える。この系の状態方程式は、計算機シミュレーションに便利なように、行列とベクトルを用いて統一的に定式化されている<sup>1)</sup>。この数学モデルは非線形であるため、その解の一般的な特性を知ることは困難であるが、平衡点近傍における解の特性は微小な擾動に関する線形化方程式系に基づいて調べることができる。すでに報告したように、線形化方程式系は次のように表わされる<sup>2)</sup>。

$$\begin{pmatrix} \Delta \dot{Q}_{T_2(m)} \\ \Delta \dot{\Psi}_3(m) \end{pmatrix} = \begin{pmatrix} -L_{-1}(m,m) K^*(m,m) & -L_{-1}(m,m) \\ S_{-1}(m,m) & -S_{-1}(m,m) C(m,m) F'(P_{-1}(m,m)) \end{pmatrix} \cdot \begin{pmatrix} \Delta Q_{T_2(m)} \\ \Delta \Psi_3(m) \end{pmatrix} \quad \dots \quad (1)$$

ここに、 $\Delta Q_{T_2}$ ,  $\Delta \Psi_3$ はそれぞれシンクノードに対する流入管路流量およびエネルギー位(水槽水位に近似的に等しい)の微小な擾動を表わすベクトルであり、\*は平衡点における量を意味している。また、 $L'$ および $K^*$ は

$$L' = B_{T_1} L \begin{pmatrix} -A_{T_{21}}^{-1} A_{T_{22}} \\ E \end{pmatrix}, \quad K^* = 2 B_{T_1} K |Q_{T_1}^*| \begin{pmatrix} -A_{T_{21}}^{-1} A_{T_{22}} \\ E \end{pmatrix} \quad \dots \quad (2)$$

で定義される行列である。式(1)の右辺の最初の係数行列を $Q(2m, 2m)$ で表わし、 $Q$ の固有値 $\lambda_i$  ( $i=1, 2, \dots, 2m$ ) はすべて相異なると仮定すると、 $P^T Q P = \text{diag}(\lambda_1, \dots, \lambda_{2m})$ なる正則な実行列 $P(2m, 2m)$ が存在する。そこで、

$$\mathbb{X}(2m) = P(2m, 2m) \begin{pmatrix} \Delta Q_{T_2(m)} \\ \Delta \Psi_3(m) \end{pmatrix} \quad \dots \quad (3)$$

の変数変換を行うと、式(1)に等価な次式が得られる。

$$\dot{\mathbb{X}}(2m) = \text{diag}(\lambda_1, \dots, \lambda_{2m}) \cdot \mathbb{X}(2m) \quad \dots \quad (4)$$

ここで、 $\mathbb{X} = (x_1, \dots, x_{2m})^T$  とし、次のような関数 $V$ を考える。

$$V = x_1^2 + x_2^2 + \dots + x_{2m}^2 \quad \dots \quad (5)$$

明らかに、 $V \geq 0$  であり、また、固有値 $\lambda_i$ はすべて負であるとすれば、式(4)を考慮して、 $\dot{V} \leq 0$  が成立することになるので、関数 $V$ はいわゆるリヤプノフ関数に他ならない。したがって、この場合、リヤプノフの方法による安定性理論を適用することができて、系の原点(平衡解)は漸近安定であることが知られる。

さて、行列 $Q$ の固有値は実際の分岐管系に対してどのようになるか考えてみると、 $Q$ の4つの部分行列のうち $S_{-1}$ および $-S_{-1}CF'$ は対角行列であるから、固有値に関係する行列要素は結局4つの部分行列の対角要素のみであることが分る。ところで、通常の分岐管路系を問題とするとき、 $-L_{-1}K^*$ と $-S_{-1}CF'$ の対角要素はすべて負になると考えてよく、また、 $S_{-1}$ と $-L_{-1}$ のすべての対角要素を掛け合わせたものは他の項に比べて無視できる程小さい。したがって、実際の分岐管路系に対する行列 $Q$ の固有値はすべて負の値で得られるものと考えて差し支えないで、非線形状態方程式系で記述されるもとのシステムは大域的漸近安定であるといってよいであろう。

3. サーリング減衰特性 前節で論じた系の安定性をより明確にするために、図-1に示す分岐管路系について数値シミュレーションを行った。系の諸元は表-1のようであり、末端水槽からの取出し流量の制御方式は才

リフィスタイルのものを考えた。図-2は表-2のケース②の初期条件の下で行ったシミュレーション結果より、ノード6および8における水位の応答を示したものである。これより、オリフィス開度、つまり取り出し流量によってサーボングの減衰の速さは異なること、また、その減衰性状は指數関数で近似されることが分る。

つぎに、図-3はシンクノード5のみでオリフィス開度を変えた場合の各シンクノードにおける $\Delta h_i / \Delta t_i^*$ の時間的変化を時定数によって示したものである。同図より、各シンクノードに対して同一の $\Delta h_i / \Delta t_i^*$ の条件の下では、オリフィス開度と時定数との間には上に凸の曲線関係の部分があり、これが極大、即ちサーボングの減衰が最も遅くなるような取り出し流量が存在することが知られる。また、シンクノード8の水槽断面積と各シンクノードにおけるサーボングの時定数との関係を示した図-4によれば、末端水槽の断面積と当該水槽において生ずるサーボングの時定数は比例関係にあることも知られる。

以上はすべての末端水槽に外乱が加えられた場合についてのシミュレーション結果であるが、1つの末端水槽に加えられた外乱によって他の末端水槽に誘起される応答の特性を知るために、表-2のケース③～⑥について解析を行った。インパルス状の外乱によって誘発される水位変動の振幅が最大になるまでの時間を「遅延時間」と呼ぶことにすれば、得られた結果をこれについて整理すると表-3のようである。

この表より、末端水槽水位の高低に無関係に任意の2つの末端水槽の間には、水位の外乱の生起時刻から誘発される水位変動が最大になる時刻までの時間差は互いに等しくなるという特徴があることが分る。なお、どのような比率の外乱を与えても上述のような特徴は認められたので、末端水槽からの取り出し流量が一定という条件の下では「遅延時間」は系に固有のものとなることが推察される。

4. あとがき 分岐管路系の安定性について線形化方程式系より考察し、モデルケースについての数値計算結果からシステムの基本的なサーボング特性をいくつか指摘した。今後さらに、末端での水利用パターンからみた分岐管路系の応答性状等についても検討を進めてゆく予定である。

(参考文献) 1) 常松芳昭: 管水路系における非定常流れの解析法について(1), 土木学会中四支部年講, 昭和52年.

2) 常松芳昭: 管水路系における非定常流れの解析法について(3), 土木学会中四支部年講, 昭和55年.

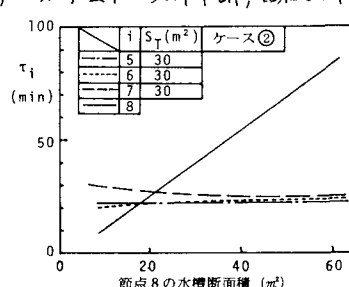


図-4 水槽断面積と時定数との関係

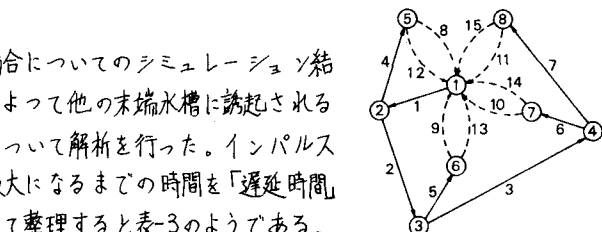


図-1 システムグラフ

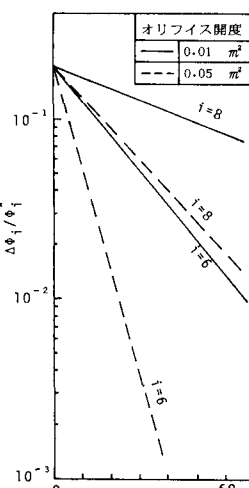


図-2 水槽水位の応答

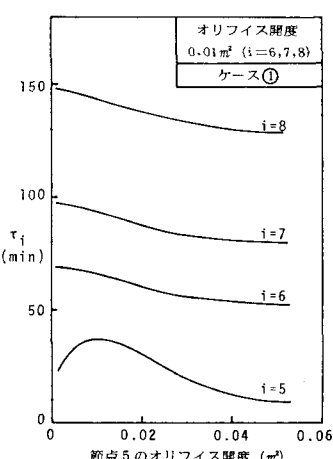


図-3 オリフィス開度と時定数

表-1 分岐管水路系の諸元

枝番号	1	2	3	4	5	6	7
管路長 (m)	500.00	500.00	500.00	232.69	224.17	235.29	318.75
管直径 (m)	0.5	0.5	0.5	0.3	0.3	0.3	0.3
節点番号	5	6	7	8			
末端水槽断面積 (m²)	30.0	30.0	30.0	50.0			
オリフィス高さ (m)	30.0	20.0	10.0	0.0			
オリフィス開度 (m²)	0.01	0.01	0.01	0.01			
f	0.03						
C	0.62						
Φ <sub>1</sub>	50.0 m						

表-2 揚動 $\Delta h_i / \Delta t_i^*$ の初期条件(%)

ケース番号	節点番号	5	6	7	8
①	+20	+20	+20	+20	
②	-20	+20	-20	+20	
③	+20	0	0	0	
④	0	+20	0	0	
⑤	0	0	+20	0	
⑥	0	0	0	+20	

表-3 遅延時間(min)

ケース番号	節点番号	5	6	7	8
③	-	30	41	68	
④	30	-	38	64	
⑤	41	38	-	62	
⑥	68	64	62	-	